



**Способ пайки сотовых панелей**, отличающийся тем, что поджатие обшивок создают оснасткой в заданных температурных условиях пластической деформации, но ниже температуры плавления припоя на 50...250 °C. Патент РФ 2242341. М. А. Уржунцев, В. М. Коросев, И. Ф. Костенко и др. (ОАО «НПО Поволжский авиационный технологический институт») [35].

**Сварочный пост**, отличающийся тем, что он имеет тележку, на которой укреплена стойка с винтом, на головке которого на оси эксцентрично установлен локтевой упор. Патент РФ 2242342. М. С. Беллавин [35].

**Малогабаритная горелка для сварки неплавящимся электродом**, отличающаяся тем, что горелка имеет трубы для подачи охлаждающей воды, расположенные в одной горизонтальной плоскости с трубкой для подачи защитного газа, а зажимная цаппа выполнена с наружной конусной резьбой. Патент РФ 2242343. Л. Б. Кокарев, В. С. Бичнов, В. Ф. Букреев, А. Е. Соколов (ОАО НПО «Искра») [35].

**Соединитель для присоединения сварочной горелки**, отличающийся тем, что корпус соединителя и вставляемый кожух выполнены в виде единого узла или одной детали, части которой соединены с помощью задней стенки, при этом корпус соединителя выполнен из изоляционного материала; вставка изготовлена из электропроводного материала и имеет резьбовую поверхность и контактную поверхность, при этом вставка установлена в гнезде. Приведены и другие отличительные признаки. Патент РФ 2242344. Л. Керекеш, Л. Месарош, А. Натта и др. (Венгрия) [35].

**Устройство для электронно-лучевой сварки**, отличающееся тем, что фокусирующие линзы его изготовлены из статических магнитов, выполненных в виде полых торов. Патент РФ 2242345. В. Т. Доронин (Алтайский ГТУ) [35].

**Способ контактной точечной сварки оцинкованных стальных листов**, отличающийся тем, что сначала экспериментальным путем на опытной партии деталей определяют оптимальные показатели сварочного тока и длительность импульса для полного удаления толщины покрытия, используя средства индикации, свидетельствующие о наличии или отсутствии в зоне сварки цинкового покрытия, и установленные режимы используют для сварки рабочей партии деталей с эквивалентной толщиной покрытия. Патент РФ 2243071. А. В. Вакатов, Ю. С. Данилов (ОАО «АвтоВАЗ») [36].

**Твердотельный лазер**, отличающийся тем, что расстояния между излучателем и оптической стабилизирующей системой и оптической стабилизирующей системой и выходом из зоны обработки выбираются от соотношения (0,8..1,2):(10...30). Патент РФ 2243072. С. С. Усов, И. В. Минаев, Ю. Б. Зверев и др. (ОАО АК «Туламашзавод») [36].

**Флюс для аргонодуговой сварки изделий из алюминиевых бронз при их изготовлении и ремонте**, отличающийся тем, что он дополнительно содержит фторид кальция и хлорид аммония при следующем соотношении компонентов, мас. %: 37...51 хлорида калия; 25...29 хлорида лития; 4...8 хлорида цинка; 4...6 хлорида аммония; 8...10 фторида натрия; 8...10 фторида кальция. Патент РФ 2243073. В. В. Рыбин, А. В. Барапов, А. Е. Войнерман и др. (ФГУП ЦНИИ КМ «Прометей») [36].

**Флюс для низкотемпературной пайки**, отличающийся тем, что он дополнительно содержит гидразин солянокислый при следующем соотношении компонентов, мас. %: 10...40 хлорида цинка; 1,0...4,5 хлорида аммония; 0,05...1,0 гидроксиаламина гидрохлорида; 0,2...1,0 гидразина солянокислого; 1,1...3,0 карбамида; остальное вода. Патент РФ 2243074. А. М. Никитинский, С. А. Пигалов (ОАО «РУМО») [36].

**Способ изготовления порошковой проволоки в металлической оболочке для сварки и наплавки металлов, а также для обработки металлических сплавов**, отличающийся тем, что в первой формовочной клети формуют центральный участок оболочки на угол 80...100° с радиусом, превышающим радиус изделия на 40...60%; во второй формовочной клети заготовку формуют по всей ширине на угол 160...200° с радиусом, превышающим радиус изделия на 80...120%; в третьей формовочной клети центральный участок формуют на угол в 180° с радиусом, превышающим радиус готового изделия на 20...40%, а периферийные участки при этом полностью распрямляют параллельно друг другу на одинаковую высоту, после чего производят заполнение оболочки порошковым материалом. Приведены и другие отличительные признаки. Патент РФ 2243075. С. В. Самусев, В. А. Маршалкин, Д. В. Захаров (ФГУ ВПО «Московский государственный институт стали и сплавов») [36].

**Способ восстановления роликов**, включающий предварительный подогрев, многослойную наплавку стальным электродом, отличающийся тем, что предварительный подогрев ролика производят до температуры 200...300 °C, наплавку ведут со скоростью 10...40 м/ч при плотности электрического тока 20...25 А/мм. Патент РФ 2243076. В. С. Смирнов, А. М. Ламухин, О. В. Синев и др. [36].

## ПО ЗАРУБЕЖНЫМ ЖУРНАЛАМ\*

*BULETINUL INSTITUTULUI in SUDURA si INCERCARI de MATERIALE – BID ISIM (Румыния), 2004. – № 1 (рум. яз.)*



**Secosan I. et al.** Экспериментальное исследование высокотемпературной пайки титана и его сплава Ti-1Pd для несущих конструкций, с. 2–10.

**Научно-исследовательские** проекты, с. 11–20.

**Bunea M. et al.** Исследование условий обеспечения качества покрытий, выполненных с помощью технологий термического напыления, с. 37–47.

*MATERIALS SCIENCE and TECHNOLOGY (Англия), 2003. – Vol. 19, № 5 (англ. яз.)*

**Capdevila C. et al.** Анализ влияния легирующих элементов на температуру начального превращения мартенсита в сталях, с. 581–586.

**Sasikala G. et al.** Ряд соотношений, определяющих разрушение вследствие теплового изотермического напряжения, для нержавеющей стали 316L(N) и их использование. Ч. 1. Разработка эталонных соотношений, с. 626–631.

\* Раздел подготовлен сотрудниками научной библиотеки ИЭС им. Е. О. Патона.



## КРАТКИЕ СООБЩЕНИЯ



**Sasikala G. et al.** Ряд соотношений, определяющих разрушение вследствие теплового изотермического напряжения, для нержавеющей стали 316L(N) и их использование. Ч. 2. Применение нержавеющей стали 316L(N) в атомной энергетике, с. 632–636.

*MATERIALS SCIENCE and TECHNOLOGY* (Англия), 2003. — Vol. 19, № 6 (англ. яз.)

**Lee W. B. et al.** Влияние параметров сварки трением на механические и металлографические свойства соединения алюминиевого сплава 5052 со сталью А36, с. 773–778.

**Lee W.B. et al.** Свойства соединений магниевого сплава AZ31B-H24, выполненных сваркой трением с перемешиванием, с. 785–790.

*MATERIALS SCIENCE and TECHNOLOGY* (Англия), 2003. — Vol. 19, № 8 (англ. яз.)

**Zhang Y.-B., Ren D-Y.** Распределение прочных карбидообразующих элементов в металле шва при твердой наплавке, с. 1029–1032.

**Abdolmaleki A. R. et al.** Оценка вязкости разрушения на поверхности раздела между нахлесточным сварным швом и основным металлом в реакторах установок для гидрокрекинга, с. 1033–1036.

**Qiu H. et al.** Влияние термических циклов сварки и холодной обработки на вязкость разрушения стали SN490, подверженной статической и динамической нагрузке, с. 1045–1049.

*PRAKTIKER* (Германия), 2004. — № 5 (нем. яз.)



Уже поставлено 100 лазерных роботов, с. 133.

**Vanschen W.** Нанесение покрытий на внутренних поверхностях лазерной порошковой наплавкой, с. 134, 136–138, 140.

**Schreiber F.** Только применение термического напыления сделало возможным подъем крупного судна, с. 142–145.

**Cramer H. et al.** Контактная сварка сталей с высоким содержанием углерода, с. 146, 148–149.

**Schuster J.** О сортах стали и других особенностях, к сожалению, почти правда!, с. 150–156.

**Leising S., Sanders W.** И DVS будет готовить сварщиков по директивам МИС, с. 157–158.

*SCIENCE and TECHNOLOGY of WELDING and JOINING* (Англия), 2003.  
— Vol. 8, № 2 (англ. яз.)



**Tsirkas S. A. et al.** Оценка деформаций судостроительных компонентов, выполненных лазером, с помощью подхода с локально-глобальными конечными элементами, с. 79–88.

**Merig C., Okur A.** Исследование вязкости разрушения сварочных электродов SAE 1020 с рутниковым покрытием и определение коэффициента несоответствия, с. 89–94.

**Moon D. V. et al.** Макроструктура, твердость и температура сварного соединения на стали HSLA100, с. 95–101.

**Nolan D. et al.** Образование усадочных трещин в корневом проходе колышевых сварных швов трубопровода из низкоуглеродистой стали, выполненном ручной дуговой сваркой электродом с целлюлозным покрытием, с. 102–112.

**Ramini N. M. de Rissone et al.** Влияние технологии сварки (положение при сварке, количество слоев, энергия дуги и тип защитного газа) на наплавленный порошковой проволокой металл ANSI/AWS A5.20-95 E71T1, с. 113–122.

**Dunne D. et al.** Структурные характеристики многопроходных швов, выполненных дуговой сваркой с порошковой проволокой, с. 123–132.

**Chao Y. J.** Вид разрушения точечных швов — отрыв сварной точки и разрушение по поверхности раздела, с. 133–137.

**Feng J. et al.** Моделирование с помощью метода конечных элементов термического напряжения в процессе диффузационного соединения между керамическим Al<sub>2</sub>O<sub>3</sub> и алюминием, с. 138–142.

**Gao J., Wu C.** Нейрофазы-управление проплавлением шва при сварке ТИГ, с. 143–148.

**Shirzadi A. A., Saindrenan G.** Новый метод диффузационной бесфлюсовой пайки твердым припоеем сплавов алюминия с использованием жидкого галлия (заявка на патент 0128623.6, Великобритания), с. 149–153.

**Ma X., Yoshida F.** Численное моделирование распределения напряжений сдвига в паяном соединении Al-Al<sub>2</sub>O<sub>3</sub>, с. 154–156.

*SCIENCE and TECHNOLOGY of WELDING and JOINING* (Англия), 2003.  
— Vol. 8, № 4 (англ. яз.)



**Norman A. F., Birley S. S., Prangnell P. B.** Разработка новой высокопрочной присадочной проволоки Al-Sc для сварки плавлением алюминиевых сплавов для авиационно-космической промышленности серии 7000, с. 235–245.

**Deutsch M. G., Punkari A. et al.** Свариваемость листового материала из сплава алюминия 5182 толщиной 1...6 мм при сварке одно- и двухлучковым лазером Nd:YAG, с. 246–256.

**Kh. A. A., Hassan P. B. et al.** Влияние сварочных параметров на микроструктуру и свойства зоны ядра сварной точки в сварных соединений из высокопрочного алюминиевого сплава, выполненного сваркой трением с перемешиванием, с. 257–268.



**Punkari A., Weekman D. C. et al.** Влияние содержания магния на сварку двухлучковым лазером Nd:YAG алюминиево-магниевых сплавов, с. 269–281.

**Nelson T. W., Steel R. J. et al.** Термические исследования на месте и влияние механических свойств после сварки швов, выполненных трением с перемешиванием на дисперсионно-упрочненные алюминиевые сплавы, с. 283–288.

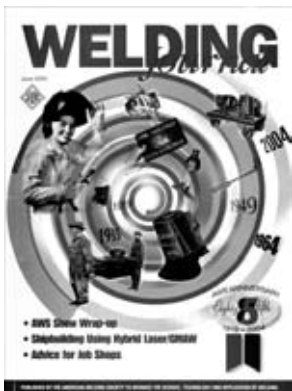
**Shinozaki K., Dejun Li et al.** Наблюдение трещинообразования типа IV в сварных соединениях из высокохромистых ферритных высокопрочных сталей, с. 289–295.

**Dejun Li, Shinozaki K. et al.** Анализ факторов, действующих на трещинообразование типа IV в сварных соединениях из высокохромистых ферритных высокопрочных сталей, с. 296–302.

**Johan Singh P. et al.** Прогнозирование усталостной долговечности стыковых сварных соединений из стали AISI 304L с разной геометрией валиков с использованием подхода местных напряжений, с. 303–308.

**Mousavi M. G. et al.** Измельчение зерна благодаря отделению зерна в швах из АЛ7020, выполненных сваркой трением с электромагнитным перемешиванием, с. 309–312.

*SCHWEISS- & PRUFTECHNIK (Австрия), 2004. — № 5 (нем. яз.)*



**Letovsky E.** Микроструктурные аспекты сварных соединений, устойчивых против ползучести, с. 70–74.

**Сварочная техника** фирмы «Бёлер», с. 75.

**«Нежное»** обращение с высококачественными сталью, с. 78.

*VARILNA TEHNIKA (Словения), 2003. — Let. 52, № 3 (слов. яз.)*

**Rihar G.** Обеспечение качества в области сварки, с. 79–83.

**Golob M., Koves A.** Методы искусственного интеллекта применительно к сварке, с. 84–92, 97.

*VARILNA TEHNIKA (Словения), 2003. — Let. 52, № 4 (слов. яз.)*

**Uran M.** Контроль качества контактной точечной сварки с помощью многопараметрического анализа в фазовом пространстве. Введение, с. 115–125.

**Takeuchi K.** Формула расчета сварных соединений, подверженных статическим нагрузкам, с. 126–130, 135.

*WELDING INTERNATIONAL (Англия), 2003. — Vol. 17, № 11 (англ. яз.)*



**Dzuba S.** Влияние параметров процесса стыковой сварки под давлением на прочность и вязкость трубчатых соединений поливинилиденфторида, с. 845–851.

**Sato Y. S., Kokawa H.** Процесс сварки трением с перемешиванием, с. 852–854.

**Takasu N.** Сварка трением пластмасс, с. 856–859.

**Madea K. et al.** Применимость диодного лазера при сварке алюминиевых сплавов, с. 860–863.

**Terasaki T., Yamakawa D.** Исследование сварочных деформаций и остаточных напряжений, образующихся в соединениях из промышленно чистого титана, с. 864–869.

**Sasabe S. et al.** Характеристики лазерной сварки сплавов алюминия для автомобильной промышленности, с. 870–878.

**Ogawa K. et al.** Сварка трением магниевого сплава AZ 31, с. 879–885.

**Sharapov M. G.** Оптимизация газовой защиты при плазменной сварке.

**Ovcharenko Yu. N.** Оценка усталостной прочности сварных соединений при малоцикловом нагружении с помощью критерия J-интеграла, с. 890–894. Selected from Svarochnoe Proizvodstvo, Russia, 2003, 46 (6), 7-11.

**Dubrovskii V. A. et al.** Предупреждение выплеска металла при электроконтактной наплавке проволокой из стали 40Cr13, с. 895–898.

**Denisov L. S., Medvedev S. V.** Дифференцированный подход к компьютерному проектированию сварных конструкций, с. 899–904.

**Pokhodnya I. K.** Сварочные материалы — современное состояние и тенденции развития, с. 905–917.

**Parshin S. G.** Использование активирующих материалов при аргонодуговой сварке, с. 918–920.

*WELDING INTERNATIONAL (Англия), 2003. — Vol. 17, № 12 (англ. яз.)*



**Aizawa T.** Электромагнитная роликовая сварка алюминиевых листов под давлением, с. 929–933.

**Takahashi K. et al.** Прочность соединения наплавленных валиков на тонких алюминиевых листах с использованием высокоскоростной сварки CO<sub>2</sub>-лазером, с. 934–938.

**Shibata K. et al.** Сварка деталей алюминиевых кузовов автомобилей с помощью высокомощного Nd-ИАГ лазера с параллельными пучками, с. 939–946.

**Penasa M., Rivela C.** Применение процесса лазерной сварки для нержавеющих сталей небольшой толщины, с. 947–957.

**Quintana R. et al.** Исследование эффективности переноса легирующих элементов флюсов в процессе дуговой сварки под флюсом, с. 958–965.

**Lasarson E. V.** Методы искусственного интеллекта при сварке. Ч. 2. Сбор и формализация знаний, с. 966–970.



## КРАТКИЕ СООБЩЕНИЯ



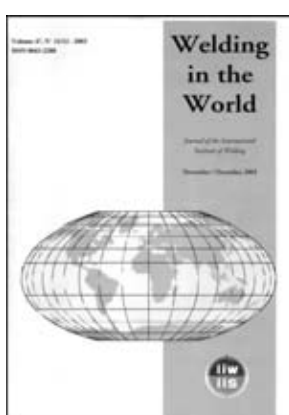
- Karkin V. A.** Решение обратной задачи теплопроводности с учетом теплоты плавления и затвердевания, с. 971–974.
- Makarenko V. D.** Влияние оксида углерода на перенос металла при сварке покрытыми электродами, с. 975–978.
- Sorokin L. I.** Оценка стойкости к образованию трещин при сварке и термообработке никелевых сплавов стойких к ползучести (Обзор), с. 979–986.
- Erofeev V. A.** Решение задач оптимизации технологии с помощью компьютерного моделирования процесса сварки, с. 987–994.
- Lebedev V. A. et al.** Оптимизация проектирования подающих роликов в оборудовании для автоматической и механизированной дуговой сварки, с. 995–998.
- Volkov S. S.** Ультразвуковая сварка компонентов из искусственной кожи, с. 999–1002.

*WELDING JOURNAL (США)*, 2004. — Vol. 83, № 3 (англ. яз.)



- Messier R. W.** Будущие области применения гибридной сварки, с. 30–34.
- Ochi H. et al.** Сварка трением с использованием металлической вставки, с. 36–40.
- Salzer T. E.** Оптимизация рельефной сварки применительно к герметичным уплотнениям, с. 42–46.
- Welding Research Supplement
- Huang X., Richards N.-L.** Технология диффузионной высокотемпературной пайки для изготовления титановых сотовых структур — статистическое исследование, с. 73–81.
- Nguyen N. T. et al.** Аналитическое приближенное решение для двойного эллипсоидного источника тепла в конечном толстолистовом материале, с. 82–93.
- Gruszczynski A.** Кинетика поглощения азота в сварочной ванне при разных режимах плавления присадочных металлов типа Fe—C—Mn, с. 94–101.
- Sekulic D. P. et al.** Прогнозирование веса галтели и топологии алюминиевых паяных соединений, с. 102–110.

*WELDING JOURNAL (США)*, 2004. — Vol. 83, № 4 (англ. яз.)



- Hancock R.** Новая защитная одежда для сварщиков, с. 29–32.
- Stewart C.** Технология использования вертикальных плит для изготовления коксовых барабанов позволяет продлить их срок эксплуатации, с. 34–36.
- Hancock R.** Новинки производства в США — корпуса для нефте- и газопромысловых платформ, с. 38–39.
- Hancock R.** Сварщики-добровольцы приваривают броневые листы в грузовиках, поставляемых для войск в Ираке, с. 83–84.
- Johnsen M. R.** Рабочая практика студентов Милфордского колледжа, с. 87–89.
- Hancock R.** Обновление учебных программ по сварке, в которых могут принимать участие разные поколения, с. 91.
- Huang C., Kou S.** Ликвационные трещины при полном проплавлении сварных швов из сплава Al—Mg—Si, с. 111–123.
- Senkara J. et al.** Прогнозирование выплеска при контактной точечной сварке, с. 123–132.
- Cavalli N. et al.** Моделирование зоны сцепления с точки зрения деформации и разрушения сварных соединений, сочетающихся клеевую технологию с точечной сваркой, с. 133–139.
- Doumanidis C., Gao Y.** Аналитическое и численное моделирование точечной ультразвуковой сварки тонкой алюминиевой фольги, с. 140–146.

*WELDING JOURNAL (США)*, 2004. — Vol. 83, № 5 (англ. яз.)



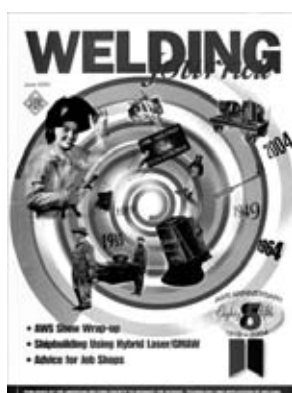
- Hancock R., Johnsen M. R.** Разработка в области сварочных пистолетов и горелок, с. 29–32.
- Cullison A. et al.** Что находится в инструментальном ящике сварщика?, с. 34–36.
- Karpac C. et al.** Экономия времени и денег благодаря использованию прямых шлифовальных кругов, с. 38–41.
- McMaster J. A., Sutherlin R. C.** Обновление — пересмотр спецификации по титану, с. 43–47.
- Welding Research Supplement
- Rayes M. El. et al.** Влияние разных параметров гибридной сварки на геометрию наплавленного валика, с. 147–153.
- Fuerschbach P. W. et al.** Разработка и оценка местного измерения пучка при лазерной точечной сварке, с. 154–159.
- Akselsen O. M. et al.** Зависимости между микроструктурой и свойствами в ЗТВ новых мартенситных нержавеющих сталей с 13% Cr, с. 160–167.

*WELDING TECHNOLOGY (Япония). Journal of the Japan Welding Engineering Society*, 2003. — Vol. 51, № 3 (ян. яз.)

- Murakawa E.** Технологическая реализация концепции использования навыков и мастерства человека, с. 53–57.
- Okumoto Y.** Моделирование человеческих навыков выполнения сварочных операций, с. 60–64.
- Nakatani M.** Повышение точности изготовления судовых конструкций при использовании моделей сварочных деформаций, с. 65–69.



- Специальный выпуск. Современное состояние применения контактной сварки**
- Okada S.** Новейшие технологии контактной сварки в автомобилестроении, с. 72–76.
- Ono M.** Свариваемость высокопрочной тонколистовой стали при точечной сварке автомобильных конструкций, с. 77–82.
- Furukawa K.** Современный уровень применения прямошовной контактной сварки, с. 83–86.
- Технические пояснения**
- Yasuda O. et al.** Разработка способа выполнения угловых горизонтальных швов с длинным катетом с помощью дуговой сварки под флюсом в tandem, с. 87–91.
- Yamamoto S.** Сварка в мире. Экономичный и эффективный способ наплавки сваркой МАГ/МИГ в tandem, с. 92.
- Вопросы и ответы.** — Оборудование для дуговой сварки. Ч. 3. Эффективность применения оборудования для дуговой сварки, с. 93–101.
- Производственные** визиты. Снижение производственных затрат за счет решения экологических проблем и внедрения информационных технологий, с. 102–106.
- Suzuki M., Yokota H.** Патентные органы для сварочной промышленности, с. 107–112.
- Nomura H., Miyata R.** Принятие в члены МИС по контролю качества, с. 113–115.
- Ogasawara H.** Экологические проблемы сварочных заводов. Ч. 3. Охрана труда и меры безопасности, с. 116–122.
- Eiichi Koupo E.** Серия лекций. Способы сварки и соединения в электронной промышленности Часть 3. Пайка бессвинцовыми припоями, с. 123–126.



*WELDING TECHNOLOGY* (Япония). *Journal of the Japan Welding Engineering Society*, 2003. — Vol. 51, № 4 (яп. яз.)

- Fukaya Y. et al.** Разработка топливных баков и технологии их соединения и обработки, с. 53–59.
- Решение проблемы. Сварка и соединение в микроэлектронике**
- Shouji I.** Технологии микросоединения в электронной промышленности, с. 62–66.
- Nakayama S.** Лазерное оборудование для микросварки в микроэлектронике, с. 67–70.
- Kouyama K.** Технологии мини- и микросварки в электронной промышленности, с. 71–76.
- Urushizaki M. et al.** Современное состояние применения высокоточных технологий микросоединения для сварки электрических узлов машин, с. 77–83.
- Специальный выпуск. Обучение сварочного персонала**
- Yamamoto H.** Обучение персонала на автомобильных заводах, с. 86–90.
- Takanashi.** Обучение сварочного персонала на фирме «Санкю», с. 91–96.
- Matsui M. et al.** Эффективность использования персональных компьютеров для обучения сварочного персонала, с. 97–102.
- Производственные** визиты. Обучение сварочного персонала, с. 103–106.
- Использование** баз данных для обучения сварочному мастерству, с. 107–110.
- Yamamoto S.** Сварка в мире. Система для объемных измерений деформации, с. 111.
- Okazaki I.** Вопросы и ответы. Оборудование для дуговой сварки. Ч. 4. Качество и техническое обслуживание оборудования для дуговой сварки, с. 112–117.
- Ogasawara H.** Экологические проблемы сварочных заводов. Ч. 4. Охрана труда и меры безопасности (продолжение), с. 118–120.
- Серия лекций.** Способы сварки и соединения в электронной промышленности. Ч. 4. Технологии микросварки и твердофазного соединения, с. 121–124.
- Аттестационные** тесты.
- Соответствие** сертификационных систем Китая и японских компаний, с. 125–148.

*ZVARANIE — SVAROVANI* (Словакия), 2004. — Roc. 53, № 3 (слов. яз.)

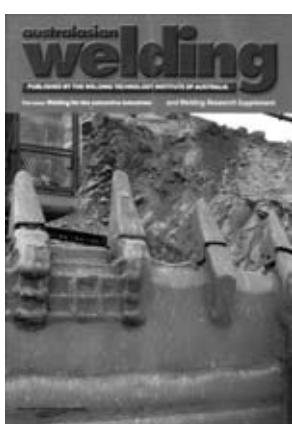
- Sejc P.** Оптимизация выбранных параметров высокотемпературной пайки МИГ/МАГ оцинкованных плит, с. 57–63.
- Orzagrhova J. et al.** Испытание коррозионного разрушения труб, перекачивающих газопроводов, с. 63–67.

*ZVARANIE — SVAROVANI* (Словакия), 2004. — Roc. 53, № 4 (слов. яз.)

- Применение** сварки в энергетике, с. 81–85.
- Pecha J. et al.** Сварка стойкой к ползучести модифицированной вольфрамом стали с 9% Cr, с. 86–92.
- Bernasovsky P.** Примеры анализа разрушений трубопроводов высокого давления, с. 92–94.
- Tranczos P., Holeša M.** Применение современных источников плазменно-дуговой резки на оборудовании PLASMACUTTER VUZ — PI SR, с. 95–98.

*ZVARANIE — SVAROVANI* (Словакия), 2004. — Roc. 53, № 5 (слов. яз.)

- Kalna K.** Определение требуемых свойств сталей и сварных соединений моста «Koscka» в Братиславе, с. 111–116.





**Kalna K., Vitasek M.** Спецификация метода сварки и испытаний свойств сварных соединений моста «Koscka», с. 111–116.

**Schanz K.-P.** Роботизированная сварка под маркой «ABICOR BINZEL», с. 122–124.

*СВАРОЧНОЕ ПРОИЗВОДСТВО (Россия)*, 2004. — № 7 (836) (рус. яз.)



**Дедюх Р. И., Кисилев А. С.** Повышение стабильности параметров процесса дуговой сварки покрытыми электродами на малых токах, с. 3–6.

**Бушма В. О., Калашников Д. В.** Магнитное поле дугового столба при дуговой сварке неподвижным плавящимся электродом (ДС НПЭ), с. 6–16.

**Сидякин В. А., Печенкин Д. К., Арбузов В. М., Хаустов В. С.** Стыковая сварка трубных переходников сталь–титан, с. 17–21.

**Ерофеев В. А.** Расчет допусков на ширину сборочных зазоров, ориентация стыка при лучевых способах сварки, с. 22–27.

**Трыков Ю. П., Шморгун В. Г., Слаутин О. В.** Влияние холодной прокатки на диффузионные процессы на границе слоев биметалла медь–алюминий, полученного сваркой взрывом, с. 27–29.

**Матвеев Н. В.** Получение в вакууме конденсационно-диффузионных сплошных и несплошных нитридтитановых покрытий, с. 30–35.

**Сорокин Л. И.** Аргонодуговая наплавка бандажных полок рабочих лопаток и высокожаропрочных никелевых сплавов, с. 36–39.

**Еремин Е. Н.** Электрошлифовальная сварка комбинированным электродом соединений малых толщин, с. 39–41.

**Трух С. Ф., Юшин Д. А., Долиненко А. В. и др.** Сравнительные характеристики ряда полуавтоматов для сварки в защитных газах, с. 41–45.

**Власов С. Н., Лапин И. Е., Савинов А. В., Лысак В. И.** Стойкость неплавящихся электродов различных конструкций при сварке малоамперной дугой в гелии, с. 46–49.

**3-я Международная специализированная выставка «Неразрушающий контроль и техническая диагностика в промышленности — 2004», с. 58–60.**

## ПЕРЕЧЕНЬ НАУЧНЫХ ПЕРЕВОДОВ

*Редакция журнала намерена периодически размещать в рубрике «По зарубежным журналам» информацию об имеющихся в ИЭС им. Е. О. Патона переводах научных статей из ведущих профильных зарубежных журналов. По всем вопросам заказа переводов следует обращаться в редакцию.*

Новое в сварочной технике, 1998 г. // *Neues in der Schweißtechnik*. — 1999. — № 5. — S. 266–289. / 1757 П/

Разработка способов прогнозирования механических свойств металла шва / Ю. Сэки и др. // *J. Jap. Weld. Soc.* — 2003. — № 72, № 6. — Р. 18–21. / 1760 П/

Источники питания и оборудование для повышения производительности сварочных технологий / Ц. Мита // *Ibid.* — 2003. — № 72, № 2. — Р. 20–25. / 1761 П/

Влияние добавки скандия и циркония на механические свойства и структуру сплава на основе алюминия с переходными металлами при использовании быстрого затвердевания / Х. Фудзии и др. // *J. of Japan Institute of Light Metals*. — 2002. — № 52, № 12. — Р. 598–604. / 1762 П/

Сварка в космосе / Х. Нисикава и др. // *Welding Technique*. — 2001. — № 1. — Р. 69–75. / 1763 П/

Обеспечение качества сварочных работ. Сварные соединения шпилек со строительной сталью. Приварка шпилек растягиваемой дугой и с наложением керамического кольца: Стандарт DVS // DVS DIN 8563. / 1764 П/

SEM-исследование *in situ* влияния включений на механизм разрушения сплавов на Al–Li основе / А. Такахаси и др. // *J. Jap. Institute of Light Metals*. — 1999. — № 49, № 4. — Р. 166–171. / 1765 П/

Принцип перемещения горелки по высоте при сварке алюминия / Г. Вилмс // *ISFDirekt*. — 2003. — № 27. — Р. 1–4. / 1766 П/

Основной принцип приварки шпилек и области ее применения / В. Нисикава // *J. Jap. Weld. Soc.* — 2002. — № 71, № 8. — Р. 27–32. / 1767 П/

Эксперименты по дуговой сварке полым вольфрамовым электродом в защитном газе в условиях низкого давления орбитальной космической станции / Е. Сунта и др. // *Quarterly J. Jap. Weld. Soc.* — 2003. — № 21, № 1. — Р. 33–38. / 1768 П/

Износостойкие титановые сплавы / В. Такахаси и др. // *Netsushori*. — 1993. — № 33, № 10. — Р. 283–288. / 1769 П/

Применение микросварки трением с перемешиванием / К. Аота // *J. Jap. Weld. Soc.* — 2003. — № 72, № 3. — Р. 25–29. / 1770 П/

Развитие коррозионных трещин под напряжением в алюминиевых сплавах системы 7075 под смешанной нагрузкой I-II вида / С. Осаки и др. // *J. Jap. Institute of Light Metals*. — 1997. — № 47, № 7. — Р. 370–377. / 1771 П/

Изучение производства вакуумных сосудов из нержавеющей стали 304 с использованием лазерной сварки / А. Китагава и др. // *Quarterly J. Jap. Weld. Soc.* — 2002. — № 20, № 2. — Р. 301–308. / 1772 П/

Изучение деформации при лазерной сварке нержавеющей стали 304 / А. Китагава и др. // *Ibid.* — 2002. — № 20, № 2. — Р. 295–300. / 1773 П/

Система для соединения самопробивающимися заклепками / И. Эндо // *J. Light Metal Weld. & Construction*. — 2001. — № 39, № 10. — Р. 16–23. / 1774 П/



- Изучение поведения и температуры брызг, образующихся при дуговой сварке в  $\text{CO}_2$  / К. Танака и др. // *Quarterly J. Jap. Weld. Soc.* — 2002. — № 20, № 3. — Р. 363–388. / 1775 П/
- Приварка шпилек / М. Грайтманн // *Praktiker*. — 2002. — № 12. — С. 450–453. / 1776 П/
- Неразрушающий контроль и ремонтная сварка / М. Юки и др. // *J. Jap. Weld. Soc.* — 2001. — № 70, № 8. — Р. 4–7. / 1777 П/
- Экспертная система WELDSIM для компьютерной сварки различных типов соединений / Т. Окамото // *Quarterly J. of J. Weld. Soc.* — 2002. — № 20, № 1. — Р. 179–184. / 1778 П/
- Механизм подавления порообразования при сварке двумя лазерными пучками в tandem нержавеющей стали / Т. Хаяси // *Ibid.* — 2002. — № 20, № 2. — Р. 228–236. / 1779 П/
- Разработка вспомогательной системы моделирования дуговой сварки (Модель сварки MAG) / Т. Ямamoto // *Ibid.* — 2002. — № 20, № 1. — Р. 191–196. / 1780 П/
- Современное состояние и перспективы исследований и разработок способов соединения по поверхности раздела / К. Сайда и др. // *J. Jap. Weld. Soc.* — 2003. — № 72, № 1. — Р. 31–32. / 1781 П/
- Сварка и газотермическое напыление: Перечень стандартов // *DIN/CEN*. — 2002. — 40 р. / 1782 П/
- Сварка и окружающая среда / К. Хосон // *J. Jap. Weld. Soc.* — 2002. — № 71, № 2. — Р. 74–78. / 1783 П/
- Применение сварки ТИГ с активаторами / Т. Окадзаки и др. // *Ibid.* — 2002. — № 71, № 2. — Р. 30–33. / 1784 П/
- Влияние активаторов на проплавление при сварке ТИГ / М. Танака // *Ibid.* — 2002. — № 71, № 2. — Р. 25–33. / 1785 П/
- Механические свойства и микроструктура зоны шва, полученного сваркой трением с перемешиванием алюминиевых сплавов / Ю. Сато // *Ibid.* — 2002. — № 71, № 8. — Р. 33–35. / 1786 П/
- Теория и практика термитной сварки рельсов / Я. Фукада // *Welding Technique*. — 2001. — № 11. — Р. 93–98. / 1787 П/
- Применение компьютерных сетей для сварочных систем с информационным обеспечением / С. Яманэ // *Ibid.* — 2001. — № 6. — Р. 63–67. / 1788 П/
- Повышение стабильности и качества импульсной сварки MAG при применении источников питания с цифровым управлением / Т. Накамата и др. // *Ibid.* — 1996. — № 10. — Р. 112–118. / 1789 П/
- Алюминиевый строительный материал SHANEJI с теплоизоляционными свойствами / С. Охаси // *J. Jap. Institute of Light Metals*. — 2002. — № 52, № 3. — Р. 151–152. / 1790 П/
- Экспериментальная оценка влияния разрушения грубых частиц вторичных фаз на механические свойства алюминиевых сплавов / Х. Тода и др // *Ibid.* — 2002. — № 51, № 7. — Р. 361–367. / 1791 П/
- Износстойкость сплава плазменного науглероживания / Д. Окамото и др. // *Netsushori*. — 2000. — № 40, № 4. — Р. 174–179. / 1792 П/
- Численный анализ нестационарной теплопроводности в зоне вылета проволоки при сварке МИГ/MAG: Ч. 2. Разработка процесса сварки МИГ/MAG в узкий зазор / Т. Накамура и др. // *Quarterly J. Jap. Weld. Soc.* — 2002. — № 20, № 1. — Р. 53–62. / 1793 П/
- Влияние изменения количества твердого раствора магния на ударную вязкость алюминиевого сплава A5083 при сварке с высокой плотностью энергии / Т. Ямагути и др. // *Ibid.* — 2001. — № 19, № 4. — Р. 656–663. / 1794 П/
- Синергетическая настройка установок для сварки вольфрамовым электродом в инертном газе (сварка ВИГ) / Г. Лоренц и др. // *Praktiker*. — 2003. — № 7. — С. 25–27. / 1795 П/
- Исследования контактной точечной сварки новых тонких листов из высокопрочных сталей и сталей повышенной прочности / Ф. Веслинг и др. // *Schweissen und Schneiden*. — 2004. — № 1. — С. 23–28. / 1796 П/
- Приварка шпилек трением — аппарат для новых областей применения / В. Вельц // *Praktiker*. — 1989. — № 8. — С. 413–417. / 1797 П/
- Высокотемпературная пайка сплава с памятью формы на Ni-Ti основе / Т. Ватанабэ и др. // *Quarterly J. Jap. Weld. Soc.* — 1992. — № 10. — Р. 95–101. / 1798 П/
- Влияние геометрии детали и элементов легирования на свариваемость сталей лазерным лучом / Х. Киамер и др. // *Schweißen und Schneiden*. — 2003. — № 6. — С. 1–7. / 1799 П/
- Следующее издание EN 287-1 не станет стандартом EN-ISO // *Praktiker*. — 2003. — № 9. — С. 274. / 1800 П/
- В центре внимания ручная дуговая сварка: РОФИН — разработка и техническое применение / П. Лимлей и др. // *Laser*. — 2003. — № 1. — Р. 34–37. / 1801 П/
- Новое в сварочной технике в 2002 г. // *Schweißen und Schneiden*. — 2003. — № 5. — С. 235–254. / 1802 П/
- Данное краткое руководство должно послужить введением в промышленную лазерную обработку // *Пер. материалов фирмы Rofin-Sinar*. — 2003. — 34 р. / 1803 П/
- О пайке титана / Г. Вендель // *Schweisstechnik*. — 1980. — № 5. — С. 200–201. / 1804 П/
- Использование источника питания постоянного напряжения для импульсной сварки МИГ алюминия / Ц. Мита // *J. Light Metal Weld. & Construction*. — 2001. — № 39, № 8. — Р. 1–11. / 1805 П/
- Лазер на выставке ЕВРОЛИСТ // *Laser*. — 2002. — № 6. — Р. 1–3. / 1806 П/
- Источники питания на искусственном интеллекте для импульсной сварки MAG «New Shot Pulse» / Ц. Мита и др. // *Welding Technique*. — 1996. — № 10. — Р. 101–106. / 1807 П/
- Изучение сварки трением с контролируемым позиционированием деталей из углеродистой стали / Х. Такэгама и др. // *Quarterly J. Jap. Weld. Soc.* — 2003. — № 21. — Р. 1–126. / 1808 П/
- О причине разрыва капель при сварке нелегированных и низколегированных сталей плавящимся электродом в активных газах / Р. Киллинг // *Schweißen und Schneiden*. — 2000. — № 8. — С. 445–447. / 1809 П/
- Нейросетевая модель жидкой ванны при сварке МИГ / А. Хирсан и др. // *Quarterly J. Jap. Weld. Soc.* — 2003. — № 21, № 2. — Р. 227–233. / 1810 П/
- Твердотельные лазеры с диодной накачкой и их применение / Т. Кадоя // *J. Jap. Weld. Soc.* — 2003. — № 72, № 8. — Р. 10–12. / 1811 П/
- Изучение деформации и прочностных характеристик сварных соединений мелкозернистой стали. Ч. 3. Изучение деформации и зарождения вязких трещин в сварных соединениях с разупрочненной ЗТВ / Т. Синтоми и др. // *Quarterly J. Jap. Weld. Soc.* — 2003. — № 21, № 3. — Р. 411–418. / 1812 П/
- Изучение деформации и прочностных характеристик сварных соединений мелкозернистой стали. Ч. 2. Прогнозирование статической прочности сварных соединений мелкозернистой стали с разупрочненной ЗТВ / Т. Синтоми и др. // *Ibid.* — 2003. — № 21, № 3. — Р. 404–410. / 1813 П/
- Изучение деформации и прочностных характеристик сварных соединений мелкозернистой стали. Ч. 1. Изучение влияния разупрочнения ЗТВ на прочность сварного соединения / Т. Синтоми и др. // *Ibid.* — 2003. — № 21, № 3. — Р. 397–403. / 1814 П/
- Расширение применения сварки трением с перемешиванием / А. Окамура и др. // *Welding Technology*. — 2003. — № 5. — Р. 60–69. / 1815 П/
- Система контроля и регулирования на базе нейрофаззи-архитектуры для наблюдения за процессами сварки в защитных газах в масштабе реального времени / У. Дилтай // *Schweißen und Schneiden*. — 2003. — № 7. / 1816 П/
- Меры по преодолению долговечности газовых турбин / У. Вреде, Г. Боренкэмпер // *Allianz Report*. — 1999. — № 2. — С. 97–103. / 1834 П/